

УДК 551.311.231(571.61)

ЛИНЕЙНЫЕ КОРЫ ВЫВЕТРИВАНИЯ ВЕРХНЕГО ПРИАМУРЬЯ

© 2011 г. В. А. Степанов, А. В. Мельников*

Научно-исследовательский геотехнологический центр ДВО РАН
683002 Петропавловск-Камчатский, Северо-Восточное шоссе, 30, а/я 56;

E-mail: vitstepanov@yandex.ru

*Институт геологии и природопользования ДВО РАН
675000 Благовещенск, пер. Рёлочный, 1;

E-mail: anton_amur@mail.ru

Поступила в редакцию 10.08.2009 г.

На территории Верхнего Приамурья широко развиты коры выветривания, в том числе на сульфидных медно-никелевых рудопроявлениях, что значительно затрудняет их поиски. Для разработки поисковых критериев нами исследован состав линейных кор выветривания на никеленосной дайке кортландитов, безрудной дайке пироксенитов и в зоне разлома на метаморфических образованиях. Определен химический состав материала кор, а также минеральный состав новообразованных глинистых фракций и шлиха. Установлено, что характерным признаком коры выветривания на никеленосной дайке кортландитов является преобладание в составе тонкой фракции ярозита с примесью кристобалита. В шлиховых пробах отмечаются ярозит, небольшие количества реликтовых сульфидов (пирита, галенита) и самородного золота. Эти критерии могут быть использованы при поисковых работах на сульфидное медно-никелевое оруденение в Верхнем Приамурье и в сходных с ним регионах.

В Приамурье широко развиты коры выветривания (КВ) площадного и линейного морфологических типов. По породам основного и, реже, среднего состава формируются хлорит-смектитовые (бейделлитовые) профили выветривания, а по кислым и средним – гидрослюдистые и гидрослюдисто-каолинитовые. Возраст линейных КВ предположительно плиоцен-раннеплейстоценовый [Орлова и др., 1996]. Для большинства разрезов КВ характерны каолиновые продукты гипергенеза.

Линейные коры выветривания в Приамурье развиты вдоль зон разломов по породам различного состава, на минерализованных дайках кислого, среднего и основного состава, а также интрузиях гипербазитов с медно-никелевым оруднением. Наличие над зонами сульфидных медно-никелевых руд линейных кор выветривания, мощность которых достигает первых сотен метров, значительно затрудняет поиски этих руд в коренном залегании. Поэтому возникла необходимость разработки критериев отличия состава кор выветривания, образованных на сульфидных медно-никелевых рудах от кор, сформированных на геологических объектах другого типа (дайки базитов и гипербазитов без сульфидной минерализации, зоны разломов в породах различного состава и др.).

ГЕОЛОГИЧЕСКОЕ СТРОЕНИЕ ОБЪЕКТОВ ИССЛЕДОВАНИЯ

Для решения поставленной задачи нами был изучен состав кор выветривания трех объектов: 1) породы с сульфидными медно-никелевыми рудами, 2) дайки пироксенитов без видимой сульфидной минерализации и 3) породы в зоне разлома субширотного простирания. Они расположены в пределах Джантинского никеленосного узла Становой никеленосной провинции [Степанов и др., 2008].

Джантинский никеленосный узел сложен преимущественно раннеархейскими метаморфическими образованиями Дамбукинской серии. В ее составе преобладают биотитовые и амфиболовые гнейсы, нередко графитсодержащие, а также кристаллосланцы с прослоями и линзами амфиболитов, кальцифириров и железистых кварцитов. Породы рассечены крупными разрывными нарушениями преимущественно северо-западного субширотного простирания и прорваны сериями небольших интрузивов (силлы и дайки кортландитов, горнблендитов, пироксенитов и габбро-норитов) джантинского комплекса раннемелового возраста [Стриха и др., 2006]. Протяженность даек и силлов достигает 1–2 км при мощности от десятков до первых сотен метров. Породы комплекса постоянно содержат сингенетическую вкрапленность сульфидов – пирротина, халькопирита и пентландита до 1–5%, а также примесь самородного золота. Нередко количество сульфидов увеличи-

Таблица 1. Химический состав кор выветривания (в %)

| Компоненты | Проба | | | | | |
|--------------------------------|------------------------------|--------|-----------------|-----------|-----------------|---------|
| | C-113 | C-114 | K-18-1-5 | K-18-2-32 | K-21-16 | K-22-80 |
| | По никеленосным кортландитам | | По зоне разлома | | По пироксенитам | |
| SiO ₂ | 43.51 | 46.4 | 51.31 | 49.63 | 43.8 | 46.9 |
| TiO ₂ | 0.57 | 2.1 | 2.01 | 2.24 | 0.28 | 0.66 |
| Al ₂ O ₃ | 7.11 | 9.36 | 12.21 | 11.82 | 2.44 | 3.19 |
| Fe ₂ O ₃ | 6.75 | 6.0 | 4.33 | 5.27 | 2.81 | 6.64 |
| FeO | 4.9 | 6.73 | 7.03 | 7.52 | 14.61 | 8.83 |
| MnO | 0.19 | 0.2 | 0.199 | 0.209 | 0.31 | 0.204 |
| CaO | 7.25 | 8.96 | 6.03 | 6.73 | 8.24 | 10.44 |
| MgO | 22.16 | 13.11 | 7.2 | 7.5 | 23.16 | 20.41 |
| Na ₂ O | 0.301 | 0.78 | 5.01 | 3.39 | 0.25 | 0.37 |
| K ₂ O | 0.015 | 0.103 | 0.1 | 0.73 | 0.101 | 0.185 |
| P ₂ O ₅ | 0.061 | 0.156 | 0.186 | 0.182 | 0.172 | 0.139 |
| ппп | 6.7 | 5.48 | 3.96 | 4.25 | 3.03 | 1.73 |
| Сумма | 99.517 | 99.379 | 99.575 | 99.471 | 99.203 | 99.698 |
| S | 0.0413 | 0.0341 | 0.0203 | 0.0079 | 0.0027 | 0.0651 |
| F | 0.701 | 0.0129 | 0.0614 | 0.1001 | 0.0129 | 0.0344 |

Примечание к табл. 1 и 2. Анализ выполнен на рентгенофлюоресцентном спектрометре S4-PIONEER в лаборатории ИГиП ДВО РАН. Аналитик В.И. Рождествина.

вается до 10–20% и более. Они образуют эпигенетические, прожилковые, брекчевые и массивные сульфидные медно-никелевые руды.

Рудопроявление Стрелка расположено в верховье р. Ульдегит. Оно представлено дайками кортландитов и роговообманковых пироксенитов с сульфидным медно-никелевым оруднением. Одна из даек прослежена канавами на 1000 м и скважинами колонкового бурения на глубину в 200 м (рисунок). Сульфиды образуют в дайке рассеянную вкрапленность, прожилки и жилы массивных медно-никелевых руд. Минеральный состав руд постоянный: пирротин (90–95%), халькопирит (до 3–5%) и пентландит (1–3%) с примесью пирита, сфалерита, арсенопирита, галенита и самородного золота. Содержание никеля, по данным штрафного опробования керна скважин, достигает 1%, меди – 6%. С поверхности по рудам развита линейная кора выветривания, достигающая глубины в 100 м. Материал коры выветривания в канавах представлен рыхлым глинистым материалом буроватого цвета (85–90%) с мелкими блоками слабовыветрелых гнейсов, сланцев, реже порфировидных пород кислого состава. Породы в блоках осветлены, каолинизированы, местами окремнены и ожелезнены.

Кора выветривания на дайке пироксенитов вскрыта и прослежена по простирианию на 100 м двумя канавами на правом борту руч. Горациев-

ского. Мощность дайки меняется от 3 до 11 м. Вмещающими служат амфибол-биотитовые гнейсы. На дайке развита линейная кора выветривания. Она представлена рыхлым материалом зеленого цвета, состоящего из смектитов с примесью полуразложенных кристаллов пироксена и полевого шпата, а также гётита. Среди выветрелых, рыхлых пород встречаются мелкие блоки слабовыветрелых пироксенитов и гнейсов.

Линейная кора выветривания по метаморфическим породам в зоне разлома северо-западного субширотного простириания прослежена двумя канавами на 100 м на водоразделе руч. Горациевского и Радостного. Мощность зоны, вскрытой канавами, достигает первых десятков метров. Она представлена пестрой по окраске бурой и желтой до зеленоватой грубоолосчатой глинистой породой. Полосы ориентированы субвертикально. Материал зоны представлен рыхлым глинистым материалом, местами ожелезненным. Он включает большое количество блоков слабовыветрелых гнейсов и амфиболитов. Они рыхлые, нередко ожелезнены.

МЕТОДЫ ИССЛЕДОВАНИЯ

Из кор выветривания каждого объекта по стенкам канав с глубины 1.5–2 м отобраны по две бороздовые пробы весом 15–20 кг каждая. Химический состав проб определен рентгенофлюорес-

центным спектрометрическим методом на приборе S4-PIONEER. Набор глинистых и других тонкодисперсных минералов проанализирован на рентгеновском дифрактометре ДРОН 3.0 на монохроматизированном медном излучении, при напряжении 25 kV и силе тока 20 mA, со скоростью счетчика 1 град/мин. Из фракции 1–2 μ готовились ориентированные препараты методом капли. Каждый образец снимался три раза: воздушно-сухой, насыщенный этиленгликолем и прокаленный. Диагностика минералов подтверждена рентгеновскими анализами. Кроме того, выполнен минералогический анализ шлиха, полученного при промывке части проб на лотке.

РЕЗУЛЬТАТЫ

Валовый состав материала кор выветривания приведен в табл. 1. По составу породообразующих оксидов материал кор по безрудной дайке пироксенита и оруденелой дайке кортландитового состава сходен. Это выражено в примерно одинаковой низкой концентрации кремнезема (43.8–46.9 и 43.51–46.4% соответственно) и высокой оксида магния (20.41–23.16 и 13.11–22.16% соответственно), свидетельствующих об образовании кор обоих объектов по ультраосновным породам. Примерно одинаковы в обоих корах количества натрия и калия, а также оксидов марганца и титана. В то же время, в материале коры по дайке пироксенита гораздо больше оксидов железа и кальция, но значительно меньше оксида алюминия. Обращает на себя внимание и несколько большее количество серы в коре выветривания, образованной по дайке кортландитов с медно-никелевым оруденением (см. табл. 1). По содержанию основных рудных элементов (никель, медь, кобальт, свинец, цинк) материал кор по никеленосной и безрудной дайкам существенно не различается (табл. 2).

Состав коры выветривания по метаморфическим породам в зоне разлома значительно отличается от двух предыдущих. В ней значительно больше кремнезема, оксидов алюминия и натрия, несколько больше титана, но значительно меньше магния. Меньше, хотя и не намного, кальция и железа. Какой-либо рудной специализации не отмечается.

Наиболее существенны различия в составе новообразованных и реликтовых минералов в корах выветривания рассматриваемых объектов. В со-

ставе новообразованных минералов коры над никеленосной дайкой преобладает ярозит, в небольшом количестве присутствуют смектиты и кристобалит. В отличие от никеленосной, в коре над безрудной дайкой пироксенитового состава среди минералов преобладают смектиты, встречаются хлорит, tremolite и серпентин. Состав минералов коры выветривания по метаморфическим породам в зоне разлома значительно отличается от первых двух типов. В ней преобладают смектиты, кроме того, встречаются реликты кварца, плагиоклаза и tremolита (табл. 3).

Состав тяжелой фракции шлиховых проб приведен в таблицах 4, 5, 6. В составе шлиха из коры выветривания по никеленосным кортландитам главную долю составляют минералы электромагнитной фракции, среди которых преобладает ярозит, встречаются реликты сфена и амфибала, в гораздо меньших количествах отмечаются гранат и ильменит, в одной пробе присутствует кварц. Кроме того, установлены знаковые количества пирита, циркона, монацита и рутила. Основу немагнитной фракции составляет сфен, в меньшем количестве отмечаются циркон и амфибол, обнаружены единичные зерна пирита, галенита и самородного золота. Золото образует комковидные зерна, реже пластинки золотисто-желтого цвета размером до 0.05 × 0.05 мм. Некоторые зерна покрыты пленкой гидроксидов железа. В магнитной фракции преобладает магнетит, но количество его менее 1% веса шлиха.

Набор шлиховых минералов из коры выветривания по безрудным пироксенитам значительно отличается от вышеописанного. Основная доля шлиха приходится на магнитную фракцию (до 80% и более), представленную только магнетитом. Вторая по весу электромагнитная фракция представлена преобладающими пироксеном и амфиболовом, а немагнитная — апатитом и цирконом.

В шлихе из коры выветривания по зоне разлома преобладает электромагнитная фракция. Она состоит, главным образом, из амфибала и ильменита с примесью рутила. Магнитная фракция, доля которой составляет не более 2%, состоит из мартита и магнетита с незначительной примесью гематита. В немагнитной фракции, доля которой менее 1% шлиха, встречаются циркон, рутил и апатит.

Разрез рудопроявления Стрелка, по данным [Тихонов, 1965] с упрощениями и дополнениями авторов.

1 — положение рудопроявления Стрелка в Амурской области (на врезке); 2 — почвенно-растительный слой; 3 — гнейсы графит-биотитовые, рассланцованные и брекчированные с вкрапленностью пирротина; 4 — амфиболиты; 5 — рогово-обманковые пироксениты и горнблендиты крупнозернистые, местами брекчированные с прожилково-вкрапленной сульфидной минерализацией; 6 — сплошные сульфидные руды; 7 — кора выветривания; 8 — скважина; 9 — канава; 10 — шурф.

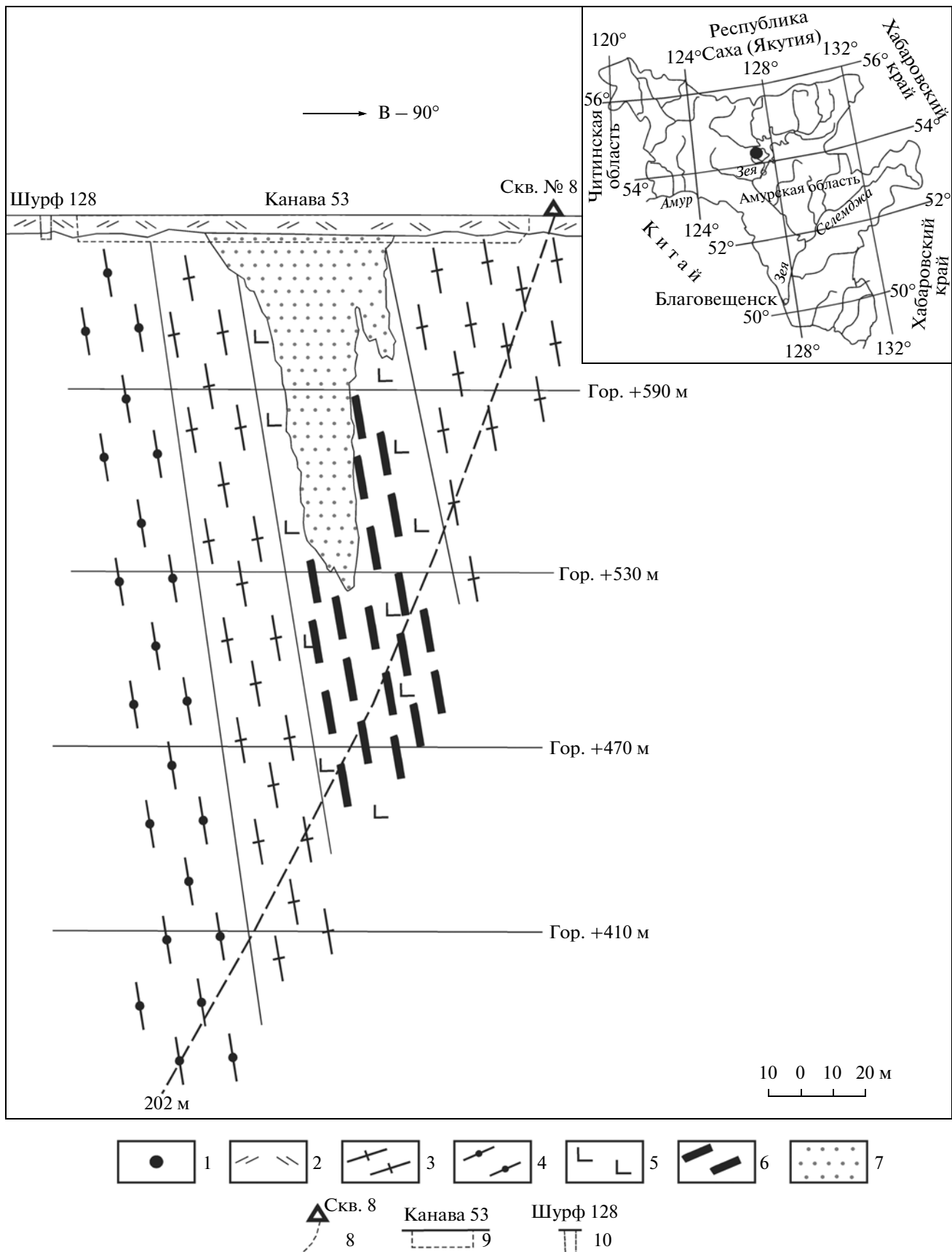


Таблица 2. Элементы-примеси в корах выветривания (в г/т)

| Элементы | Проба | | | | | |
|----------|------------------------------|-------|-----------------|-----------|-----------------|---------|
| | C-113 | C-114 | K-18-1-5 | K-18-2-32 | K-21-16 | K-22-80 |
| | По никеленосным кортландитам | | По зоне разлома | | По пироксенитам | |
| V | 57 | 43 | 45 | 79 | 42 | 76 |
| Cr | 154 | 573 | 143 | 3027 | 486 | 964 |
| Ni | 736 | 408 | 416 | 1434 | 564 | 855 |
| Cu | 336 | 480 | 375 | 482 | 554 | 272 |
| Co | 71 | 39 | 33 | 90 | 60 | 58 |
| Zn | 155 | 147 | 143 | 113 | 196 | 124 |
| Pb | 9 | 11 | 8 | 13 | 8 | 8 |
| Mo | 2 | 3 | 1 | 1 | 2 | 1 |
| As | 5 | 2 | 8 | 2 | 3 | 5 |
| Sn | <10 | 10 | <10 | <10 | <10 | <10 |
| Rb | 17 | 5 | 5 | 3 | 6 | 15 |
| Ce | 13 | 20 | 17 | 13 | 31 | 23 |
| Th | 2 | 3 | 2 | 2 | 1 | 2 |
| Ba | 71 | 30 | 30 | 10 | 31 | 21 |
| Sr | 220 | 76 | 358 | 158 | 128 | 128 |
| Zr | 144 | 140 | 131 | 128 | 22 | 37 |
| Sc | 35 | 39 | 35 | 24 | 44 | 78 |
| Y | 38 | 42 | 32 | 18 | 14 | 18 |
| Yb | 7 | 3 | 7 | 8 | 5 | 6 |
| Ga | 30 | 25 | 24 | 28 | 22 | 28 |
| Nb | 4 | 11 | 8 | 4 | 2 | 4 |
| Ge | 2 | 3 | 1 | 2 | 2 | 3 |
| La | 1 | 2 | 2 | 1 | 1 | 2 |

Таблица 3. Состав фракции 1–2 μ материала кор выветривания, по данным рентгеноструктурного анализа

| Проба | Кора выветривания | Минералы |
|-----------|------------------------------|--|
| C-113 | по никеленосным кортландитам | ярозит (около 90%), смектиты (до 5%), кварц, кристобалит (следы) |
| C-114 | | ярозит (более 90%), кварц, кристобалит (1–2%) |
| K-18-1-5 | по зоне разлома | кварц (много), смектиты, плагиоклаз, tremolit, слюда |
| K-18-2-32 | | кварц, плагиоклаз, tremolit |
| K-21-16 | по пироксенитам | смектиты (85–90%), хлорит, слюда, tremolit |
| K-22-80 | | смектиты (около 90%), хлорит (1–5%), серпентин, tremolit |

Примечание. Анализ выполнен на рентгеновском дифрактометре ДРОН-3.0 в лаборатории ДВГИ ДВО РАН. Аналитик Н.В. Груда.

ОБСУЖДЕНИЕ РЕЗУЛЬТАТОВ

Результаты анализов свидетельствуют о значительных различиях в составе изученных кор выветривания. Кора выветривания по никеленосным кортландитам характеризуется высоким содержанием магния и низким кремнеземом, что

указывает на происхождение ее за счет ультраосновных пород. В составе новообразованных минералов преобладает ярозит (более 90%), происхождение которого, несомненно, связано с окислением первичных сульфидов, отмечаются смектиты (до 5%) и кристобалит (1–2%). Ярозит в

Таблица 4. Минеральный состав шлиха из материала коры выветривания по никеленосным кортландитам (в %)

| Минералы | Проба С-113-1 | | | | | Проба С-114-1 | | | | |
|--------------------------------------|---------------|-------------|-------------|-------------|-----------------|---------------|-------------|------------|-------------|-----------------|
| | M (0.03) | Э (1.41) | Н (1.73) | Л (0.22) | Сумма (3.39) | M (0.01) | Э (1.94) | Н (0.5) | Л (0.18) | Сумма (2.63) |
| Магнетит | 100 | — | — | — | 0.9 | 100 | — | — | — | 0.4 |
| Ильменит | — | 0.3 | — | — | 0.1 | — | 0.3 | — | — | 0.2 |
| Гранат | ед.зн. | 1.7 | — | — | 0.7 | — | 2.2 | — | — | 1.6 |
| Ярозит | — | 15.0 | — | 15.0 | 7.2 | — | 19.3 | — | 20.0 | 15.6 |
| Амфибол | — | 21.6 | — | — | 9.0 | ед.зн. | 10.9 | 6.8 | — | 9.3 |
| Слюдя | — | — | — | — | — | ед.зн. | — | — | — | ед.зн. |
| Сфен | — | 61.4 | 97.0 | — | 75.0 | — | 61.3 | 83.8 | — | 61.2 |
| Монацит | — | — | — | — | — | — | ед.зн. | — | — | ед.зн. |
| Циркон | — | зн. | 3.0 | — | 1.5 | — | ед.зн. | 9.4 | — | 1.8 |
| Рутил | — | зн. | зн. | — | зн. | — | — | — | зн. | зн. |
| Пирит | — | ед.зн. | ед.зн. | — | зн. | — | — | ед.зн. | — | ед.зн. |
| Галенит | — | — | ед.зн. | — | ед.зн. | — | — | — | — | — |
| Кварц | — | — | — | — | — | — | 6.0 | — | — | 4.4 |
| Кварц + пол.шпат + + слюда + амфибол | — | — | — | 85.0 | 5.5 | — | — | — | 80.0 | 5.5 |
| Золото | — | — | 1 зн. | — | 1 зн. | — | — | 8 зн. | — | 8 зн. |

Примечание. Фракции шлиха: М — магнитная, Э — электромагнитная, Н — немагнитная, Л — легкая (в скобках вес фракции, г). Ед. зн. — 1–9 кристаллов минерала, зн. — от 10 кристаллов до весовых количеств минерала в шлихе, прочерк — минерал не обнаружен. Аналитик Л.И. Козак, ИГиП ДВО РАН.

Таблица 5. Минеральный состав шлиха из материала коры выветривания по пироксенитам (в %)

| Минералы | Проба K-21-16 | | | | | Проба K-22-80 | | | | |
|------------------|---------------|-------------|-------------|------------|-----------------|---------------|--------------|--------------|--------------|----------------|
| | M (16.21) | Э (3.21) | Н (0.08) | Л (зн.) | Сумма (19.5) | M (6.885) | Э (0.103) | Н (0.007) | Л (0.005) | Сумма (7.0) |
| Магнетит | 100 | — | — | — | 83.1 | 100 | — | — | — | 98.4 |
| Мартит | — | ед. зн. | — | — | ед. зн. | — | 3.2 | — | — | зн. |
| Ильменит | — | 0.1 | ед. зн. | — | зн. | — | зн. | — | — | зн. |
| Гётит | — | зн. | — | — | ед. зн. | — | зн. | — | — | зн. |
| Пироксен | — | 94.6 | 12.0 | ед. зн. | 15.6 | — | 78.2 | ед. зн. | — | 1.2 |
| Амфибол | — | 4.3 | — | — | 0.7 | — | 17.8 | — | — | 0.3 |
| Циркон | — | — | зн. | — | зн. | — | 0.7 | 65.7 | ед. зн. | зн. |
| Сфен | — | — | — | — | — | — | — | ед. зн. | — | ед. зн. |
| Рутил | — | — | ед. зн. | — | ед. зн. | — | ед. зн. | ед. зн. | — | ед. зн. |
| Слюдя | — | 1.0 | — | — | 0.15 | — | 0.1 | ед. зн. | 70.0 | зн. |
| Апатит | — | — | 87.0 | — | 0.35 | — | — | 34.3 | — | зн. |
| Пирит | — | ед.зн. | — | — | ед. зн. | — | ед. зн. | зн. | — | зн. |
| Графит | — | — | ед. зн. | — | ед. зн. | — | — | ед. зн. | — | ед. зн. |
| Кварц + пол.шпат | — | — | — | зн. | зн. | — | зн. | — | 30.0 | зн. |

Примечание к табл. 5, 6. Аналитик Е.Н. Воропаева, ИГиП ДВО РАН. Остальное см. табл. 4.

Таблица 6. Минеральный состав шлиха из материала коры выветривания по гнейсам и амфиболитам в зоне разлома (в %)

| Минералы | Проба К-18-2-32 | | | | | Проба К-18-1-5 | | | | |
|-----------------------|-----------------|--------------|-------------|------------|----------------|----------------|-------------|--------------|------------|-----------------|
| | M (0.035) | Э (1.555) | H (0.01) | L (0.1) | Сумма (1.7) | M (0.025) | Э (0.71) | H (0.015) | L (0.4) | Сумма (1.15) |
| Магнетит | 5 | — | — | — | 0.1 | 50 | — | — | — | 1.1 |
| Мартит | 95 | зн. | — | — | 2 | 50 | зн. | — | — | 1.1 |
| Гематит | ед.зн. | — | — | — | ед.зн. | зн. | зн. | — | — | зн. |
| Ильменит | — | ед.зн. | — | — | ед.зн. | — | 47.5 | зн. | — | 29.3 |
| Гранат | — | ед.зн. | — | — | ед.зн. | — | ед.зн. | — | — | ед.зн. |
| Гетит | — | зн. | — | — | зн. | — | зн. | — | — | зн. |
| Амфибол | — | 90.1 | — | ед.зн. | 82.4 | — | 45.8 | 2 | зн. | 28.3 |
| Эпидот | — | зн. | — | — | зн. | — | ед.зн. | — | — | ед.зн. |
| Сфен | — | — | ед.зн. | — | ед.зн. | — | зн. | 1 | — | зн. |
| Турмалин | — | — | — | — | — | — | ед.зн. | — | — | ед.зн. |
| Циркон | — | — | зн. | — | зн. | — | ед.зн. | 48 | — | 0.6 |
| Рутил | — | 6.3 | 50 | ед.зн. | 6.1 | — | 1.1 | 46 | — | 1.3 |
| Пирит | — | ед.зн. | — | — | ед.зн. | — | ед.зн. | — | — | ед.зн. |
| Апатит | — | — | 40 | — | 0.2 | — | — | 3 | — | зн. |
| Слюдя | — | 0.3 | — | — | 0.3 | зн. | 4.9 | — | — | 3 |
| Графит | — | ед.зн. | — | — | ед.зн. | — | — | — | ед.зн. | ед.зн. |
| Кварц + + пол.шпат | — | 3.2 | 10 | 100 | 8.9 | зн. | 0.7 | — | 100 | 35.2 |

значительных количествах (7.2–15.6%) присутствует также в шлихах. На наличие сульфидов в неизмененной породе указывает повышенное содержание серы в коре выветривания, а также приключение в немагнитной фракции шлиха пирита и галенита. Присутствие в шлихах самородного золота также является признаком образования коры выветривания по золотосодержащим медно-никелевым рудам.

На безрудной дайке пироксенитов образуется кора выветривания, по валовому составу мало отличающаяся от состава коры на никеленосных кортландитах, но состав новообразованных минералов в них резко различен. Среди этих минералов преобладают смектиты (85–90%) с примесью хлорита (до 5%), серпентина и tremolita. Отличается и состав шлиха, в котором преобладает магнетит.

В зоне разлома по гнейсам образуется кора выветривания, которая по составу значительно отличается от двух предыдущих. В ней значительно больше кремнезема и оксида алюминия. В составе искусственного шлиха преобладают амфиболовы, ильменит, мартит по магнетиту и рутил. Сре-

ди глинистых минералов преобладают смектиты (90–95%). Реликтовые минералы – кварц, плагиоклаз и tremolit. Каких-либо признаков сульфидной минерализации не отмечается.

ЗАКЛЮЧЕНИЕ

Проведенное исследование показало, что состав линейных кор выветривания на изученной территории меняется в зависимости от состава исходных пород. В составе глинистых минералов кор выветривания по гнейсам и амфиболитам в зоне разломов, а также в коре выветривания по дайке пироксенита преобладают смектиты. В отличие от них характерными признаками коры выветривания по никеленосным дайкам и малым интрузиям является наличие в составе новообразованных минералов большого количества ярозита с незначительной примесью смектита и кристобалита, а в шлихе – ярозита, реликтовых сульфидов (пирит и галенит) и самородного золота. Породы этой коры выветривания отличаются повышенной концентрацией серы. Указанные признаки могут быть использованы при проведении

поисковых работ на сульфидное медно-никелевое оруденение в условиях Верхнего Приамурья и в сходных с ним регионах.

СПИСОК ЛИТЕРАТУРЫ

Орлова Н.И., Воропаева Н.П., Васильев И.А., Дербеко И.М. Коры выветривания Амурской области и их золотоносность // Отечественная геология. 1996. № 4. С. 37–40.

Степанов В.А., Мельников А.В., Стриха В.Е. Становая никеленосная провинция Дальнего Востока // Вестник СВКНИИ. 2008. № 2. С. 13–21.

Стриха В.Е., Степанов В.А., Родионов Н.И. Раннемеловая кортландит-пироксенит-габбровая ассоциация Верхнего Приамурья: геохронологические и геохимические данные // ДАН. 2006. Т. 407. № 5. С. 664–668.

Тихонов В.М. Отчет о геологоразведочных работах Моготской партии № 75 за 1965 г. Приленская эксп. 1966. 280 с.